

# Algorytmy stadne w problemach optymalizacji

Bogusław Filipowicz, Joanna Kwiecień

AGH Akademia Górniczo-Hutnicza w Krakowie, Wydział EAIiE, Katedra Automa

**Streszczenie:** W artykule przedstawiono zastosowanie algorytmu optymalizacji rojem cząstek, algorytmu pszczelego i algorytmu świetlika do wyznaczenia optymalnego rozwiązania wybranych testowych funkcji ciągłych. Przedstawiono i porównano wyniki badań dla funkcji Rosenbrocka, Rastrigina i de Jonga.

**Słowa kluczowe:** optymalizacja nieliniowa, algorytm PSO, algorytm pszczeli, algorytm świetlika

## 1. Wprowadzenie

Problemy optymalizacji spotykane są na każdym kroku, zarówno w nauce, w przemyśle, administracji, jak i codziennym życiu, gdy chcemy zminimalizować koszty czy też zmaksymalizować zyski. W wielu współczesnych problemach optymalizacji konieczne jest stosowanie takich algorytmów, które łatwo dostosowują się do ograniczeń niezależnie od rozmiarów przestrzeni rozwiązań i pozwalają jednocześnie skrócić czas obliczeń.

W ostatnich latach intensywnie rozwijają się algorytmy stadne, które naśladując zachowania istniejące w świecie zwierząt czy roślin, dostarczają bardzo wydajnych procedur optymalizacyjnych. Najnowszymi tego typu algorytmami są: algorytmy optymalizacji rojem cząstek PSO (ang. *particle swarm optimization*), algorytmy pszczele BA (ang. *bee algorithms*) oraz algorytm świetlika FA (ang. *firefly algorithm*). Metody te należą do klasy dynamicznie rozwijających się technik optymalizacji.

## 2. Algorytm optymalizacji rojem cząstek

Algorytm optymalizacji rojem cząstek opracowany został przez J. Kennedy'ego i R. Eberharta w 1995 r. Algorytm ten bazuje na zachowaniu całej populacji, w której istnieje możliwość komunikowania się między osobnikami-cząstkami i dzielenia się informacjami, przy czym każda cząstka ma określone położenie i prędkość. Cząstki przemieszczają się do nowych położenia, poszukując optimum i zmieniają kierunek, jeśli lepsze rozwiązanie zostanie znalezione. Każda cząstka zna swoich sąsiadów, pamięta swoje najlepsze położenia i położenie swoich sąsiadów, wartość funkcji ewaluacyjnej dla swojego położenia i położenia sąsiadów [1, 3, 5, 12].

Parametry  $i$ -tej cząstki, takie jak położenie oraz prędkość, można przedstawić w postaci wektorów  $x_i = [x_{i1}, x_{i2}, \dots, x_{id}]$  oraz  $v_i = [v_{i1}, v_{i2}, \dots, v_{id}]$ , gdzie  $d$  oznacza wymiar przestrzeni. Najlepsza pozycja cząstki  $p_i = [p_{i1}, p_{i2}, \dots, p_{id}]$  odpowiada najlepszej uzyskanej dotychczas wartości funkcji celu, zaś najlepsza pozycja cząstki-przywódcy w całym roju określona jest jako  $p_d = [p_{d1}, p_{d2}, \dots, p_{dd}]$ . Algorytm

optymalizacji rojem cząstek jest algorytmem iteracyjnym. W każdej iteracji uaktualniona zostaje prędkość i kierunek przemieszczania się cząstek. Zadana liczba iteracji jest często stosowanym kryterium zakończenia algorytmu.

Algorytm optymalizacji rojem cząstek można przedstawić w kilku etapach [1, 3, 5, 12]:

Etap 1: Losowa inicjalizacja pozycji i prędkości początkowych cząstek.

Etap 2: Ocena położenia cząstek za pomocą funkcji dopasowania.

Etap 3: Porównanie zachowania każdej cząstki z jej najlepszym dotychczasowym zachowaniem.

Etap 4: Uaktualnienie prędkości każdej cząstki w każdym kroku  $k$ :

$$v_i(k) = \omega v_i(k-1) + c_1 r_1 [p_i(k-1) - x_i(k-1)] + c_2 r_2 [p_d(k-1) - x_i(k-1)] \quad (1)$$

gdzie  $\omega$  oznacza współczynnik inercji ruchu cząstki,  $c_1$  – parametr określający zaufanie do kierunku swojego najlepszego położenia,  $c_2$  to wskaźnik zaufania do położenia swoich sąsiadów,  $r_1$  oraz  $r_2$  to losowe liczby o rozkładzie równomiernym w przedziale  $[0, 1]$ .

Etap 5: Uaktualnienie położenia każdej cząstki:

$$x_i(k) = x_i(k-1) + v_i(k) \quad (2)$$

Badając wpływ sąsiadów na zachowanie cząstek, należy uwzględnić sposoby określenia najlepszej dotychczas znalezionej pozycji sąsiadów. Istnieją głównie dwa podejścia: *gbest* (ang. *global best particle*) i *lbest* (ang. *local best particle*). W wersji *gbest* uwzględnia się najlepsze znalezione rozwiązanie z całej populacji cząstek. W *lbest* uwzględnione jest najlepsze znalezione rozwiązanie z cząstek z sąsiedztwa  $i$ -tej cząstki [12].

## 3. Algorytmy pszczele

Do klasy algorytmów stadnych należą również algorytmy pszczele. Prace dotyczące matematycznego modelowania i komputerowej symulacji roju pszczelego powstawały już na przełomie lat 70. i 80. ubiegłego wieku [8–10]. W literaturze można znaleźć wiele rodzajów algorytmów pszczelich. Jednym z nich jest algorytm pszczoł miodnych HBA (ang. *honey bee algorithm*), który został po raz pierwszy sformułowany w 2004 r. C. Tovey i S. Nakrani przedstawili ten algorytm jako metodę rozwiązania problemu alokacji komputerów. W latach 2004–2005 X.S. Yang przedstawił wirtualny algorytm pszczeli VBA (ang. *virtual bee algorithm*) do rozwiązania problemów optymalizacji ciągłej i dyskretnej. B. Basturk oraz D. Karaboga zaprezentowali

algorytm kolonii pszczół ABC (ang. *artificial bee colony*) do numerycznej optymalizacji funkcji w 2006 roku [13].

Algorytmy pszczele pozwalają przeszukać przestrzeń rozwiązań danego problemu w oparciu o proces zdobywania nektaru przez rój pszczół. Początkowo grupa pszczół-zwiadowców zostaje losowo rozesłana celem przeskazania obszarów zasobnych w kwiatostany. Po powrocie do ula powiadają one pozostałe pszczoły o swoim najlepszym odkryciu. W trakcie wykonywania tańca pszczelego przekazywana jest informacja o jakości, kierunku i odległości pożywienia od ula. Do najlepszych miejsc rozsyłane są pozostałe pszczoły, które rozpoczynają zbiory nektaru. Im zasobniejsze źródło, tym więcej pszczół dowiaduje się o tym miejscu. Powracające pszczoły przekazują następnym informację na temat eksploatowanego obszaru, aby mogły podążyć za śladem wybranej pszczoły-zwiadowcy [2, 3, 11].

Ogólną strukturę algorytmu pszczelego można przedstawić następująco [2-4, 11]:

Etap 1: Losowa inicjalizacja  $n$  rozwiązań początkowych (pszczół zwiadowców).

Etap 2: Obliczenie funkcji celu dla całej populacji.

Etap 3: Dopóki niespełnione jest kryterium stopu (zadana liczba iteracji) należy:

- wybrać  $m$  sąsiadztw do przeszukiwania,
- zrekrutować pszczoły do wybranych miejsc (liczba pszczół  $nep$  do najlepszych  $e$  miejsc),
- wyliczyć funkcję celu,
- wybrać najlepszą pszczołę w danym miejscu (najlepsze lokalne rozwiązanie),
- przypisać pozostałe pszczoły do losowych poszukiwań i wyliczyć ich funkcje dopasowania.

Etap 4: Jeśli spełnione kryterium stopu – wyznaczyć najlepsze rozwiązania.

## 4. Algorytm świetlika

W 2007 r. Xin-She Yang z Uniwersytetu Cambridge, opracował algorytm w oparciu o zachowanie świetlików. Ich bioluminescencyjne sygnały służą m.in. jako element zalotów, metody przyciągania ofiar lub jako sygnał ostrzegawczy. W algorytmie tym rozwiązanie problemu optymalizacji oparte jest na różnicy w intensywności światła, która jest proporcjonalna do wartości funkcji celu. Każdy jaśniejszy świetlik przyciąga do siebie pozostałe, co pozwala na efektywne badanie przestrzeni poszukiwań [7, 13, 14].

Algorytm świetlika zakłada trzy reguły [13]:

- wszystkie świetliki są dla siebie atrakcyjne bez względu na płęć,
- atrakcyjność świetlików jest proporcjonalna do ich jasności świecenia, maleje wraz ze wzrostem odległości między świetlikami; jeśli wszystkie świetliki są tak samo atrakcyjne to poruszają się losowo,
- intensywność światła określona jest przez wartość funkcji celu.

Każdy świetlik ma swoją atrakcyjność opisaną przez funkcję odległości między dwoma dowolnymi świetlikami:

$$\beta(r) = \beta_0 e^{-\gamma r^m}, \quad m \geq 1, \quad (3)$$

gdzie  $\beta_0$  oznacza atrakcyjność w  $r = 0$  zaś  $\gamma$  jest współczynnikiem absorpcji światła.

Odległość między dwoma świetlikami  $i$  oraz  $j$  w pozycjach  $x_i$  i  $x_j$  jest określona jako:

$$r_{ij} = \|x_i - x_j\| = \sqrt{\sum_{k=1}^d (x_{i,k} - x_{j,k})^2}, \quad (4)$$

gdzie  $d$  oznacza liczbę wymiarów.

Ruch świetlika  $i$  jest określony przez następującą formułę:

$$x_i = x_i + \beta_0 e^{-\gamma r_{ij}^m} (x_j - x_i) + \alpha (\text{rand} - \frac{1}{2}), \quad (5)$$

gdzie pierwszy składnik określa bieżącą pozycję świetlika  $i$ , drugi składnik określa atrakcyjność, trzeci składnik używany jest w przypadku losowego przemieszczania ( $\text{rand}$  jest liczbą losową z zakresu  $[0, 1]$ , zaś  $\alpha \in (0, 1)$ ). W większości przypadków  $\beta_0 = 1$  i  $\gamma = 1$ .

Ogólna struktura algorytmu jest następująca [7, 13]:

Etap 1: Inicjalizacja parametrów algorytmu ( $n$ ,  $\beta_0$ ,  $\gamma$ , liczba iteracji,  $\alpha$ ).

Zdefiniowanie funkcji celu  $f(x)$ ,  $x = (x_1, \dots, x_d)^T$ .

Wygenerowanie początkowej populacji świetlików. Intensywność światła  $i$ -tego świetlika  $I_i$  jest określona przez funkcję celu  $f(x_i)$ .

Etap 2: Dopóki nie jest spełniony warunek stopu (zadana liczba iteracji):

dla wszystkich  $n$  świetlików należy:

- jeśli  $(I_j > I_i)$  to wykonać ruch świetlika  $i$  w kierunku świetlika  $j$ ,
- wyznaczyć atrakcyjność,
- znaleźć nowe rozwiązanie i uaktualnić intensywność światła.

Ocena świetlików i znalezienie najlepszego.

Etap 3: Spełniony warunek stopu – wskazanie świetlika z najwyższą intensywnością światła, wizualizacja wyników.

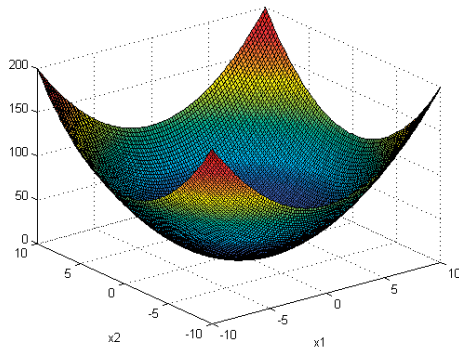
## 5. Eksperymenty

Przeprowadzono badania dotyczące zastosowania algorytmów PSO, BA i FA do optymalizacji wybranych funkcji testowych [4]. Wyniki prezentowane w pracy zostały ograniczone do funkcji dwuwymiarowych.

Pierwszą analizowaną funkcją jest  $n$  wymiarowa funkcja de Jonga (rys. 1), przedstawiona w postaci:

$$f_1(x) = \sum_{i=1}^n x_i^2 \quad (6)$$

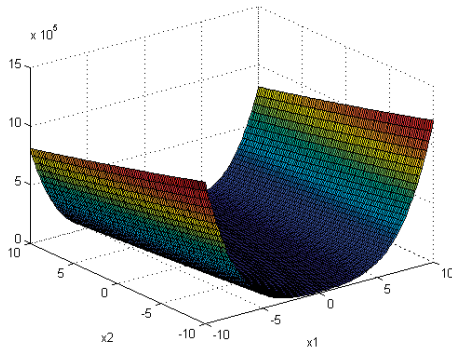
i posiadająca minimum  $f_1(0, \dots, 0) = 0$ . Zakres zmiennych analizowanej funkcji de Jonga został ograniczony do przedziału  $[-10, 10]$ .



**Rys. 1.** Dwuwymiarowa funkcja de Jonga  
**Fig. 1.** 2D de Jong's function

Kolejną testowaną funkcją to funkcja Rosenbrocka (rys. 2), z minimum globalnym  $f_2(1, \dots, 1) = 0$  w przedziale  $[-10, 10]$ , którą można przedstawić jako:

$$f_2(x) = \sum_{i=1}^{n-1} [100(x_{i+1} - x_i^2)^2 + (x_i - 1)^2] \quad (7)$$

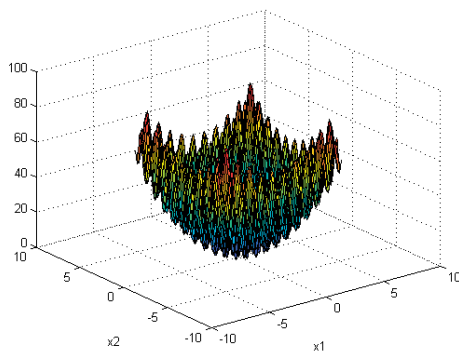


**Rys. 2.** Dwuwymiarowa funkcja Rosenbrocka  
**Fig. 2.** 2D Rosenbrock's function

Ostatnią wybraną do badań funkcją Rastrigina (rys. 3), o zmiennych z przedziału  $[-5, 12, 5, 12]$ , ma postać:

$$f_3(x) = 10n + \sum_{i=1}^n [x_i^2 - 10 \cos(2\pi x_i)] \quad (8)$$

Ma ona minimum globalne  $f_3(0, \dots, 0) = 0$ .

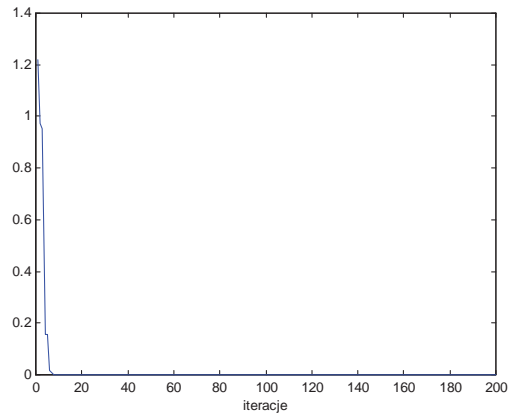


**Rys. 3.** Dwuwymiarowa funkcja Rastrigina  
**Fig. 3.** 2D Rastrigin's function

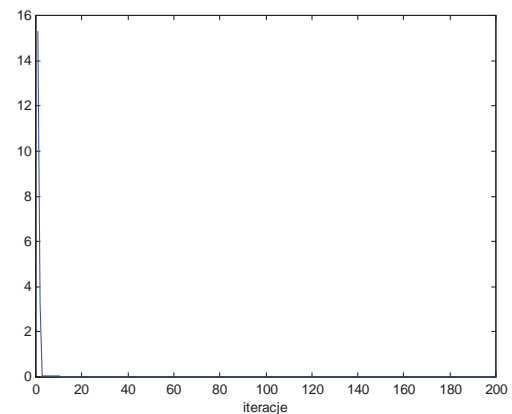
Dla każdego algorytmu wykonano eksperymenty obliczeniowe w środowisku MATLAB 7.1, przy różnych ustawieniach parametrów, które wpływają na jakość rozwiązania i czas obliczeń. Wykorzystano również wartości para-

metrów podawane w literaturze [5, 7, 11]. Algorytm świetlika zaimplementowano bazując na pracy [15].

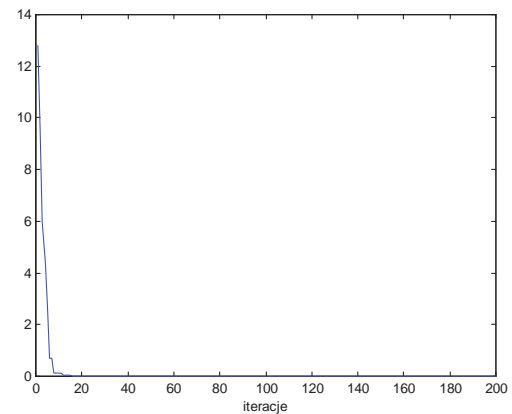
Na rys. 4 przedstawiono wykresy zależności wartości funkcji od liczby iteracji dla algorytmu PSO.



a) De Jong ( $x_1 = 0,19e-016$ ,  $x_2 = 0,31e-016$ )



b) Rosenbrock ( $x_1 = 1$ ,  $x_2 = 1$ )



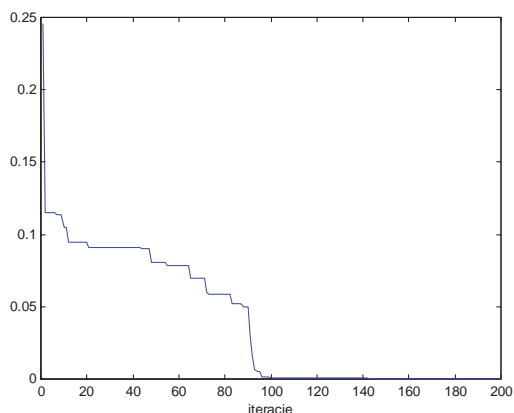
c) Rastrigin ( $x_1 = 0,26e-006$ ,  $x_2 = 0,13e-006$ )

**Rys. 4.** Wykresy zależności wartości wybranych funkcji od liczby iteracji

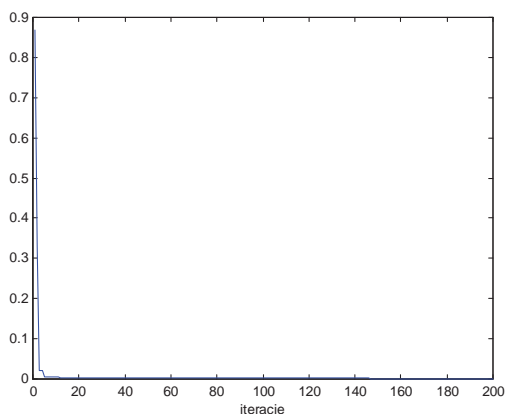
**Fig. 4.** The relationship of value of selected functions with iterations

Przyjęto następujące ustawienia algorytmu PSO: populacja składa się z 40 cząstek, kryterium stopu – wykonanie 200 iteracji,  $c_1 = c_2 = 2$ ,  $\omega = 0,8$ . Okazało się, że wprowadzenie większej liczby iteracji (500) nie miało większego

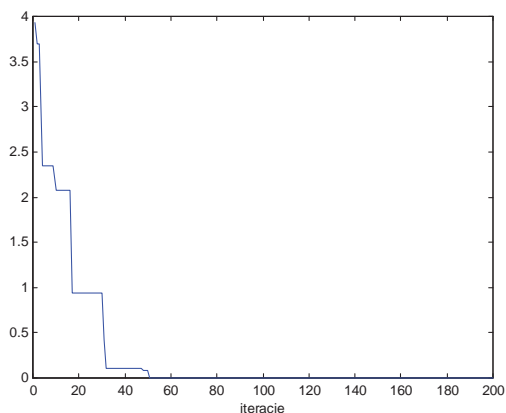
wpływu na poprawę rozwiązania. Dla większej liczby cząstek (100) uzyskiwano nieco lepsze rezultaty.



a) De Jong ( $x_1 = 0,14e-003$ ,  $x_2 = -0,51e-003$ ,  $f(x) = 0,0003e-003$ )



b) Rosenbrock ( $x_1 = 1,0136$ ,  $x_2 = 1,025$ ,  $f(x) = 0,0008$ )



c) Rastrigin ( $x_1 = 0,0003$ ,  $x_2 = 0,0019$ ,  $f(x) = 0,0007$ )

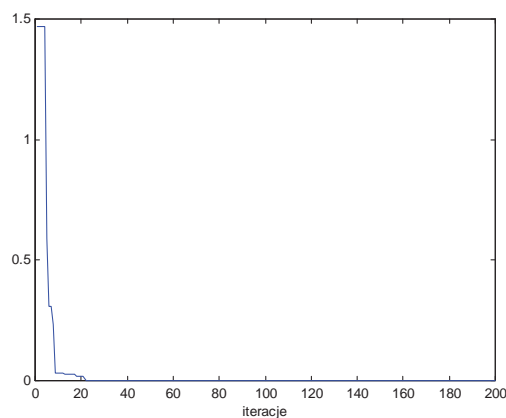
**Rys. 5.** Wykresy wartości wybranych funkcji od liczby iteracji

**Fig. 5.** The relationship of value of selected functions with iterations

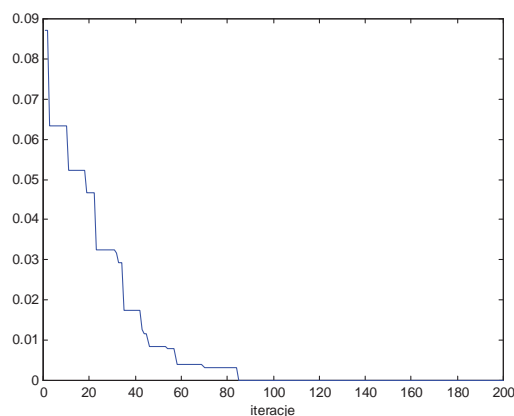
Na rys. 5 przedstawiono wyniki dla algorytmów pszczołich, przy następujących ustawieniach: 40 pszczoł zwiadowców, 5 sąsiedztw, 5 najlepszych miejsc, liczba pszczoł

wysyłanych do najlepszych miejsc  $nep = 25$ , 200 iteracji. W wielu eksperymentach algorytm potrzebował ponad 100 iteracji na znalezienie minimum.

Dla algorytmu światlika przyjęto następujące wartości parametrów: 40 świetlików, 200 iteracji, atrakcyjność  $\beta_0 = 1$ , współczynnik absorpcji światła  $\gamma = 1$ ,  $\alpha = 0,2$ . Wykresy zależności wartości wybranych funkcji od liczby iteracji dla rozpatrywanego algorytmu przedstawiono na rys. 6.



a) De Jong ( $x_1 = 0$ ,  $x_2 = 0$ ,  $f(x) = 0$ )

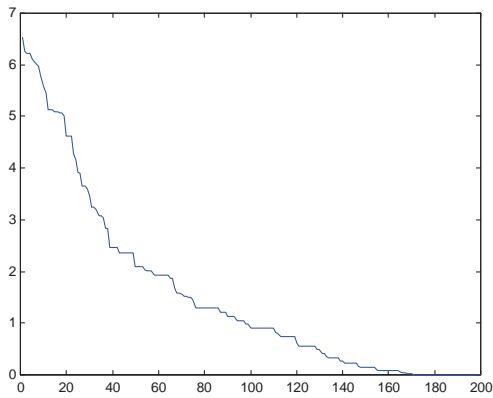


b) Rosenbrock ( $x_1 = 1,0023$ ,  $x_2 = 1,0048$ ,  $f(x) = 9,08e-006$ )

**Rys. 6.** Wykresy zależności wartości funkcji de Jonga i Rosenbrocka od liczby iteracji ( $\alpha = 0,2$ ,  $\gamma = 1$ )

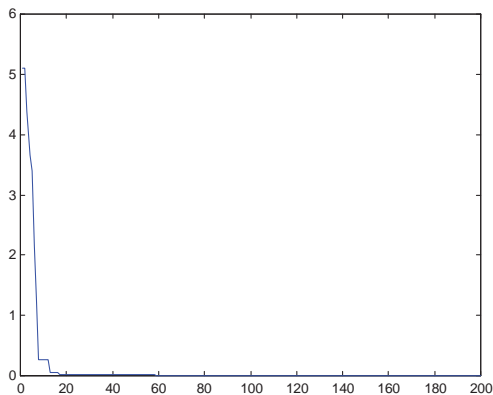
**Fig. 6.** The relationship of value of de Jong and Rosenbrock functions with iterations ( $\alpha = 0,2$ ,  $\gamma = 1$ )

Dla funkcji de Jonga algorytm światlika znajdował minimum już w 20 iteracji, zaś dla funkcji Rosenbrocka potrzebował więcej iteracji. W przypadku funkcji Rastrigina dla parametru  $\alpha = 0,2$  nie udało się znaleźć wartości optymalnej. Algorytm ten znajdował minima lokalne. Dla wartości  $\alpha = 0,8$  uzyskano lepsze rezultaty (rys. 7). Podobnie w przypadku zwiększonego współczynnika absorpcji  $\gamma = 10$ , algorytm światlika znajdował lepsze rozwiązania (rys. 8), przy małej liczbie iteracji.



**Rys. 7.** Wykresy zależności wartości funkcji Rastrigina od liczby iteracji ( $\alpha = 0,8$ ,  $x_1 = -0,0015$ ,  $x_2 = -0,0011$ ,  $f(x) = 0,0007$ )

**Fig. 7.** The relationship of value of Rastrigin function with iterations ( $\alpha = 0,8$ ,  $x_1 = -0,0015$ ,  $x_2 = -0,0011$ ,  $f(x) = 0,0007$ )



**Rys. 8.** Wykresy zależności wartości funkcji Rastrigina od liczby iteracji ( $\gamma = 10$ ,  $x_1 = -0,0041$ ,  $x_2 = -0,0005$ ,  $f(x) = 0,0033$ )

**Fig. 8.** The relationship of value of Rastrigin function with iterations ( $\gamma = 10$ ,  $x_1 = -0,0041$ ,  $x_2 = -0,0005$ ,  $f(x) = 0,0033$ )

## 6. Podsumowanie

W artykule zaprezentowano zastosowanie trzech algorytmów stadnych do znalezienia optimum trzech funkcji testowych. Spośród rozważanych algorytmów najskuteczniejszymi okazały się algorytmy świetlika i PSO. Do znalezienia minimum globalnego algorytm pszczeli potrzebował najwięcej iteracji. Duże problemy pojawiły się w przypadku funkcji wielomodalnej Rastrigina. Podstawowym problemem rzutującym na funkcjonowanie algorytmów jest dobranie odpowiednich ustawień parametrów. W przypadku problemów o większych wymiarach algorytm świetlika daje najlepsze wyniki.

Obecnie w Polsce, jak i na świecie, prowadzone są liczne badania dotyczące zastosowania algorytmów stadnych do rozwiązania problemów istniejących w wielu dziedzinach [2, 3, 6, 11-14].

## Bibliografia

1. Eberhart R., Shi Y., Kennedy J.: *Swarm Intelligence*. Morgan Kaufman, San Francisco, 2001.
2. Filipowicz B., Chmiel W., Kadłuczka P.: *Ukierunkowane przeszukiwanie przestrzeni rozwiązań w algorytmach rojowych*. „Automatyka”, półrocznik AGH, 13(2), 2009.
3. Filipowicz B., Kwiecień J.: *Algorytmy stadne w optymalizacji problemów przydziału przy kwadratowym wskaźniku jakości (QAP)*. „Automatyka”, półrocznik AGH, 15(2), 2011.
4. Karaboga D., Akay B.: *Artificial Bee Colony (ABC), Harmony Search and Bees Algorithms on numerical optimization*. Artykuł dostępny na stronie: [http://conference.iproms.org/sites/conference.iproms.org/files/IPROMSABCv2.pdf], (28.08.2011).
5. Kennedy J., Eberhart R.: *Particle Swarm Optimization*. Materiały IEEE International Conference on Neural Networks, 4, 1942–1948, 1995.
6. Lewicki A., Tadeusiewicz R.: *An autocatalytic emergence swarm algorithm in the decision-making task of managing the process of creation of intellectual capital*. Human-Computer Systems Interaction. Backgrounds and Applications 2, Advances in Soft Computing, Springer-Verlag Co., Berlin, 2011, 173–188.
7. Łukasik S., Żak S.: *Firefly algorithm for continuous constrained optimization task*. Computational Collective Intelligence. Semantic Web, Social Networks and Multiagent Systems LNCS, 5796, 97–106, 2009.
8. Migacz A., Tadeusiewicz R.: *Model rodziny pszczelej*. Modelowanie Cybernetyczne Systemów Biologicznych, Akademia Medyczna, Kraków 1979, 133–144.
9. Migacz A., Tadeusiewicz R.: *The computer model of the bee colony*. System Science 3(9), 83–95, 1983.
10. Migacz A., Tadeusiewicz R.: *Komputerowy model zjawiska konkurencji rodzin pszczelich w terenie*. „Archiwum Automatyki i Telemechaniki”, 26(2), 253–265, 1981.
11. Pham D.T., Ghanbarzadeh A., Koc E., Otri S., Rahim S., Zaidi M.: *The Bees Algorithm – A Novel Tool for Complex Optimisation Problems*. Technical Note, Manufacturing Engineering Centre, Cardiff University, UK, 2005.
12. Trojanowski K.: *Metaheurystyki praktycznie*. Wydawnictwo WIT, Warszawa 2005.
13. Yang X.S.: *Nature-Inspired Metaheuristic Algorithms*. Luniver Press, 2008.
14. Yang X.S.: *Firefly algorithms for multimodal optimization*. Stochastic Algorithms: Foundations and Applications, SAGA, Lecture Notes in Computer Sciences, 5792, 169–178, 2009.
15. [www.mathworks.com/matlabcentral/fileexchange/29693-firefly-algorithm]. ■

## Swarm Algorithms in Optimization Problems

**Abstract:** This paper presents particle swarm optimization, bee algorithm and firefly algorithm, used for optimal solution of selected continuous well-known functions. Results of these algorithms are compared to each other on Rosenbrock, Rastrigin and de Jong functions.

**Keywords:** non-linear optimization, particle swarm optimization, bee algorithm, firefly algorithm

### prof. zw. dr hab. inż. Bogusław Filipowicz

Jest pracownikiem Wydziału EAIiE AGH w Krakowie w Katedrze Automatyki i pełni funkcję kierownika Laboratorium Badań Operacyjnych i Systemowych. Jest specjalistą w dziedzinie automatyki i robotyki oraz badań operacyjnych i systemowych. Jest autorem 11 książek oraz ponad 120 publikacji w czasopismach i materiałach konferencji krajowych i zagranicznych.



Jego zainteresowania badawcze skupiają się wokół modelowania i optymalizacji systemów i sieci kolejkowych, metod i algorytmów optymalizacji kombinatorycznej, a także zastosowań badań operacyjnych do wspomagania zarządzania złożonymi kompleksami operacji. Bogusław Filipowicz jest członkiem Komisji Elektrotechniki, Informatyki i Automatyki PAN, Oddział w Krakowie oraz sekretarzem Komisji i Sekcji Informatyki i Robotyki PAN. Jest laureatem indywidualnej Nagrody Ministra Nauki i Szkolnictwa Wyższego za monografię pt. „Modele stochastyczne w badaniach operacyjnych” wydaną przez WNT w Warszawie oraz Nagrody II-go stopnia im. Prof. W. Taklińskiego. Został również nagrodzony Medalem Komisji Edukacji Narodowej za działalność dydaktyczną oraz Złotym Medalem za długoletnią służbę.

Pod jego kierunkiem naukowym obroniło prace dyplomowe magisterskie i inżynierskie ponad 130 dyplomantów w kraju i zagranicą. Był promotorem w 5 przewodach doktorskich zakończonych obroną w kraju i 2-ch III-cyklu w Algierii.

e-mail: [filip@ia.agh.edu.pl](mailto:filip@ia.agh.edu.pl)

### dr inż. Joanna Kwiecień

Jest adiunktem w Katedrze Automatyki AGH w Krakowie. Stopień doktora nauk technicznych w zakresie Automatyki i Robotyki uzyskała w 2004 roku. Jej główne zainteresowania naukowe koncentrują się w obszarze badań operacyjnych i systemowych oraz algorytmów sztucznej inteligencji. Jest autorką kilkudziesięciu artykułów o zasięgu krajowym i międzynarodowym.



e-mail: [kwiecien@ia.agh.edu.pl](mailto:kwiecien@ia.agh.edu.pl)